

# 利用铅锌废渣制备银修饰纳米复合材料的研究

石振武<sup>1,2</sup>, 杨海东<sup>3</sup>, 宋娟<sup>2</sup>, 杨守洁<sup>2</sup>, 薛群虎<sup>1</sup>

(1. 西安建筑科技大学, 陕西 西安 710055)

(2. 陕西理工大学, 陕西 汉中 723000)

(3. 陕西有色金属控股集团有限责任公司, 陕西 西安 710075)

**摘要:** 以含银的铅锌废渣为银源, 联合采用氯盐法、Stöber 法、溶胶凝胶法以及光沉积法制备银修饰纳米复合材料 Ag@TiO<sub>2</sub>@SiO<sub>2</sub>。XRD 和 TEM 的分析表明: Ag@TiO<sub>2</sub>@SiO<sub>2</sub> 具有核壳结构的纳米材料, Ag 以 10 nm 团簇的形式沉积在锐钛矿型 TiO<sub>2</sub> 壳层上。XPS 分析指出: TiO<sub>2</sub> 以 Ti-O-Si 键化学吸附在 SiO<sub>2</sub> 上, 而沉积在 TiO<sub>2</sub> 上的银是银的单质。Uv-Vis 的分析表明: 材料 Ag@TiO<sub>2</sub>@SiO<sub>2</sub> 对光响应范围扩大到可见光区。罗丹明的光降解反应表明, Ag@TiO<sub>2</sub>@SiO<sub>2</sub> 的光催化性能优良。

**关键词:** 银修饰的纳米复合材料; 铅锌废渣; 光催化性能

中图法分类号: TB333

文献标识码: A

文章编号: 1002-185X(2018)07-2257-05

根据美国地质勘探局颁布的矿产品统计年鉴 2002~2015, 我国从 2004 年起铅、锌矿山产量一直位居世界第一, 在 2015 年铅矿山总产量已达 230 万吨, 锌矿山总产量已达 490 万吨。由于我国生产 1 t 铅排放 0.71 t 废渣, 生产一吨锌排放 0.96 t 废渣<sup>[1]</sup>。因此, 2015 年铅锌废渣总排放量 630 万吨, 2002 年~2015 年铅锌废渣排放量累计超过一亿吨。我国铅锌冶炼企业排放的铅锌废渣中, 特别是湿法炼铅炼锌排放的废渣中, 含银量 100~600 g/t, 超过银矿床的最低工业品位 80~100 g/t<sup>[2,3]</sup>, 因此随着银的矿产资源日益匮乏、银用量的增长和价格的攀升, 以及环保要求的日益提高, 研究回收和资源化利用铅锌废渣中的银是一件十分有意义的工作。

纳米半导体材料 TiO<sub>2</sub> 是一种稳定、难溶、无毒、无污染的催化剂, 广泛应用于能源、污水处理和医疗等领域, 但是纳米 TiO<sub>2</sub> 的带隙较宽, 为 3.2 eV, 只能吸收波长小于 380 nm 的不可见光, 且光量子效率低, 因此极大降低 TiO<sub>2</sub> 的催化效率<sup>[4-6]</sup>。为提高其分散性以及光量子效率, 拓宽其对光的吸收域, 增强光催化性能, 行之有效的方法就是把贵金属 Ag 的纳米颗粒沉积在纳米 TiO<sub>2</sub> 的表面<sup>[5-11]</sup>。因此, 本次研究以铅锌废渣为银源制备核壳型 Ag@TiO<sub>2</sub>@SiO<sub>2</sub> 纳米复合材料, 并以有机染料罗丹明模拟污染物来研究 Ag@TiO<sub>2</sub>@SiO<sub>2</sub> 纳米复合材料的光催化性, 以期为含

银废渣、废水的深度开发和高附加值利用开辟一条新的途径。

## 1 实验

实验用的废渣样品是陕西某铅锌冶炼厂提供的铅锌废渣。将采集到的块状铅锌废渣风干、破碎, 在 110 °C 恒温下干燥 12 h, 然后在 RH-600A 型球高速多功能粉碎机上粉碎, 筛分后得到粒径≤74 μm 的铅锌废渣。铅锌废渣的化学组成用德国布鲁克 AXS 有限公司产生的 S4PIONEERX-ray 荧光光谱仪分析, 其结果见表 1。由表 1 可知, 该铅锌废渣的主要成分是 Fe、Si、Pb 和 S, 它们的氧化物占到 83.581%; 银在该废渣中的含量 530 g/t, 而银矿床的边界品位 40~50 g/t, 最低工业品位 80~100 g/t, 矿床平均品位>150 g/t<sup>[3]</sup>。因此, 这种铅锌废渣中的银含量是银矿床的边界品位的 13 倍, 大约是银的最低工业品位的 7 倍, 约是银矿床平均品位的 4 倍, 非常适合于作贵金属银的来源。

在实验中, 首先利用氯盐法<sup>[12,13]</sup>制备 AgNO<sub>3</sub>。将 1500 g 预处理的铅锌废渣置于 800 °C 的马弗炉中焙烧 5 h, 冷却室温后质量 1000 g。取 250 g 焙烧的废渣加到 1.0 L、0.4 mol·L<sup>-1</sup>、pH=1 的 FeCl<sub>3</sub> 溶液中, 在 30 °C 下搅拌 4 h 后过滤分离; 将分离得到的沉淀物加到 1.0 L、2 mol·L<sup>-1</sup> 的醋酸和 2 mol·L<sup>-1</sup> 的醋酸钠混合溶液中搅拌 4 h、过滤、分离; 将二次分离的沉淀物加到 1 mol·L<sup>-1</sup>

收稿日期: 2017-07-08

基金项目: 国家“十二五”科技支撑计划项目(2011BAJ02B01-01); 陕西省“13115”科技创新工程重大科技专项(2010ZDKG-91)

作者简介: 石振武, 男, 1969 年生, 博士, 西安建筑科技大学材料与矿资学院, 陕西 西安 710055, E-mail: shizhenwu2013@163.com

表 1 铅锌废渣的化学组成

Table 1 Chemical composition of metallurgical lead and zinc slag (w/w%)

Element	Content
Fe <sub>2</sub> O <sub>3</sub>	34.071
SiO <sub>2</sub>	17.745
PbO	12.095
SO <sub>3</sub>	19.670
ZnO	6.648
CaO	3.701
Al <sub>2</sub> O <sub>3</sub>	2.271
MgO	1.372
TiO <sub>2</sub>	0.106
MnO	0.739
CuO	0.334
P <sub>2</sub> O <sub>5</sub>	0.067
BaO	0.413
K <sub>2</sub> O	0.556
Na <sub>2</sub> O	0.152
Ag	0.053
Total	99.993

的氨水中搅拌4 h，然后过滤、分离，将所得的滤液先后通入RH<sup>+</sup>型和RNH<sub>4</sub><sup>+</sup>型的离子交换树脂柱中，以2 mol·L<sup>-1</sup>的HNO<sub>3</sub>作洗脱液进行离子交换，得到AgNO<sub>3</sub>溶液。重复上述步骤4次，最后将4次所得AgNO<sub>3</sub>溶液蒸发结晶而得到AgNO<sub>3</sub>晶体。

其次，采用Stöber法制备SiO<sub>2</sub>亚微球<sup>[14]</sup>。在锥形瓶中依次加入300 mL的无水乙醇、50 mL去离子水以及30 mL氨水，并用超声分散均匀，然后在搅拌下逐滴加入30 mL正硅酸乙酯(TESO)；当混合液变成乳白色后，继续搅拌3 h，然后用去离子水离心洗涤3次，再在50 °C真空干燥10 h后，就可制得白色的SiO<sub>2</sub>模板。

然后，用溶胶凝胶法合成核壳型纳米材料<sup>[15]</sup>。将250 mL乙醇和150 mL乙腈混合后，然后加入300 mg干燥的SiO<sub>2</sub>模板，并用超声波分散；在SiO<sub>2</sub>分散均匀后，滴加2 mL去离子水和1 mL甲胺并搅拌20 min，然后逐滴加入4.0 mL钛酸异丙酯(TTIP)；待化学反应进行2 h后，将得到的凝胶用去离子水洗涤3次，然后在50 °C的真空条件下干燥10 h就转化成干燥的凝胶，即得到核壳型纳米复合材料TiO<sub>2</sub>@SiO<sub>2</sub>；将适量的干凝胶在马氟炉中以5 °C/min升温至600 °C，并且在600 °C下焙烧4 h后就可得到焙烧的核壳型TiO<sub>2</sub>@SiO<sub>2</sub>纳米复合材料。

最后，用光沉积法合成Ag@TiO<sub>2</sub>@SiO<sub>2</sub><sup>[16]</sup>。将250 mg焙烧的TiO<sub>2</sub>@SiO<sub>2</sub>样品和20 mgAgNO<sub>3</sub>依次加入250 mL乙醇中，在超声分散均匀后放入光化学反应器中并通氮气30 min，然后打开光源照射30 min、离心、去离子水洗涤3次，之后在50 °C的真空条件下干燥10 h，就得到核壳型纳米复合材料Ag@TiO<sub>2</sub>@SiO<sub>2</sub>。

在温度25 °C的条件下，将50 mg Ag@TiO<sub>2</sub>@SiO<sub>2</sub>和10 mg罗丹明分散在250 mL水中，然后放置在石英管光化学反应器(内径3.8 cm，外径4.5 cm，长21 cm)内；先在避光下搅拌30 min，待罗丹明在光催化剂表面吸附平衡后打开500 W( $\lambda_{\text{max}}=365$  nm)紫外灯光源继续搅拌；每隔适当时间在10 000 r/min的离心机中取一次样，连续多次取样，并经UV-Vis检测上层清液污染物的含量<sup>[17]</sup>。最后采用相同的方法使用TiO<sub>2</sub>@SiO<sub>2</sub>作对照性实验。

实验制备的复合材料的物相在X射线衍射(XRD)仪(D8ADVANCE型，德国)上进行分析，它的微观结构及其形貌在TEM(H-9500型，日本)上观察，它的化学结构在XPS设备(Shimadzu，日本)上分析，它对光的吸收域在UV-Vis(UV2550型，日本)上进行表征。

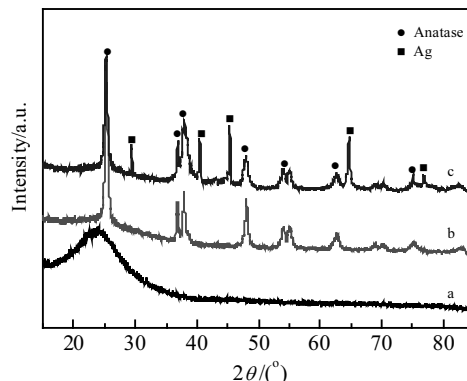
## 2 结果与讨论

### 2.1 复合材料的物相分析

图1是SiO<sub>2</sub>、焙烧的TiO<sub>2</sub>@SiO<sub>2</sub>和Ag@TiO<sub>2</sub>@SiO<sub>2</sub>的XRD图谱。图1中a的XRD图谱没有尖锐的特征衍射峰，只在2θ=18°~30°有非晶衍射包，表明制备的模板SiO<sub>2</sub>是无定形。图1中b的XRD图谱只有锐钛矿型TiO<sub>2</sub>的特征衍射峰，说明焙烧的TiO<sub>2</sub>@SiO<sub>2</sub>中的TiO<sub>2</sub>是锐钛矿型，完全包覆SiO<sub>2</sub>。从图1中c可以看到，Ag@TiO<sub>2</sub>@SiO<sub>2</sub>的XRD图谱中除锐钛矿型TiO<sub>2</sub>的特征衍射峰外，还有单质银的特征衍射峰，表明在Ag@TiO<sub>2</sub>@SiO<sub>2</sub>中的单质Ag分散在包覆层锐钛矿型TiO<sub>2</sub>上。

### 2.2 复合材料的形貌表征

图2是试样SiO<sub>2</sub>、TiO<sub>2</sub>@SiO<sub>2</sub>和Ag@TiO<sub>2</sub>@SiO<sub>2</sub>的透射电镜(TEM)照片。由图2a可以看出模板SiO<sub>2</sub>呈球形，直径250 nm，分散性良好。从图2b和2c可以看出焙烧前后的TiO<sub>2</sub>@SiO<sub>2</sub>均呈现核壳型结构，球

图1 SiO<sub>2</sub>、焙烧TiO<sub>2</sub>@SiO<sub>2</sub>和Ag@TiO<sub>2</sub>@SiO<sub>2</sub>的XRD图谱Fig.1 XRD patterns of SiO<sub>2</sub> (a), sintered TiO<sub>2</sub>@SiO<sub>2</sub> (b) and Ag@TiO<sub>2</sub>@SiO<sub>2</sub> (c)

壳  $\text{TiO}_2$  包覆在球形  $\text{SiO}_2$  上, 有利提高  $\text{TiO}_2$  的分散性。其中, 未焙烧  $\text{TiO}_2@\text{SiO}_2$  的直径 370 nm, 球壳  $\text{TiO}_2$  厚度 60 nm, 而焙烧得到的锐钛矿型  $\text{TiO}_2@\text{SiO}_2$  粒径变小, 为 350 nm, 球壳  $\text{TiO}_2$  的外表面粗糙, 有利于提高  $\text{TiO}_2$  的比表面积, 可吸附更多的银粒。由图 2d 和 2e 可以看出,  $\text{Ag}@\text{TiO}_2@\text{SiO}_2$  的粒径为 370 nm, 其中 Ag 以 10 nm 的团簇沉积在球壳  $\text{TiO}_2$  的外表面, 而且分散均匀。根据以上分析得出, 复合材料  $\text{Ag}@\text{TiO}_2@\text{SiO}_2$  结构中的  $\text{TiO}_2@\text{SiO}_2$  核壳结构能提高纳米  $\text{TiO}_2$  的分散度和比表面积, 而在锐钛矿型  $\text{TiO}_2$  上均匀沉积 Ag 能有效消除纳米 Ag 的团聚, 增大纳米 Ag 的比表面积, 从而增强  $\text{TiO}_2$  的光催化性能。

### 2.3 核壳型复合材料 $\text{Ag}@\text{TiO}_2@\text{SiO}_2$ 的微观结构

图3是核壳型复合材料  $\text{Ag}@\text{TiO}_2@\text{SiO}_2$  的XPS总谱图和各元素的高分辨率XPS谱图。在XPS总谱图3a中没有明显的杂质峰, 其中C 1s来自于XPS仪器的有机碳氢化合物。O 1s的高分辨率XPS能谱如图3b所示。位于结合能529.0 eV的特征峰对应 $\text{TiO}_2$ 中O, 位于结合能532.7 eV的特征峰对应O-Si-O键中O, 表明在  $\text{Ag}@\text{TiO}_2@\text{SiO}_2$  中的  $\text{SiO}_2$  与  $\text{TiO}_2$  以 Ti-O-Si 键合。由于在 Ti-O-Si 中与 Si 键结合的 O 周围电子密度比在 Si-O-Si 中的电子密度高<sup>[18]</sup>, 因此复合材料中的 Ti-O-Si 键比 Si-O-Si 键稳定。图3c中位于结合能458.6和464.4 eV的特征峰分别对应  $\text{Ti } 2\text{p}_{3/2}$  和  $\text{Ti } 2\text{p}_{1/2}$ , 与四方相中  $\text{Ti}^{4+}$  的结合能基本相一致, 说明 Ti 以  $\text{TiO}_2$  存在。图3d中位于结合能368和374.8 eV的特征峰分别对应单质 Ag 的  $\text{Ag } 3\text{d}_{5/2}$  和  $\text{Ag } 3\text{d}_{3/2}$ , 说明在制备复合材料  $\text{Ag}@\text{TiO}_2$

$@\text{SiO}_2$  的过程中,  $\text{TiO}_2$  受到激发, 低能价带的  $e^-$  越迁到高能导带, 被吸附在锐钛矿型  $\text{TiO}_2$  表面上的  $\text{Ag}^+$  捕获,  $\text{Ag}^+$  被还原成单质 Ag。

### 2.4 核壳型复合材料 $\text{Ag}@\text{TiO}_2@\text{SiO}_2$ 和 $\text{TiO}_2@\text{SiO}_2$ 的紫外-可见漫反射光谱

图4是纳米复合材料  $\text{Ag}@\text{TiO}_2@\text{SiO}_2$  和焙烧后的  $\text{TiO}_2@\text{SiO}_2$  的 UV-vis 漫反射吸收光谱。从图4可以清楚地看到,  $\text{TiO}_2@\text{SiO}_2$  的强吸收峰在波长 200~400 nm 的紫外区,  $\text{Ag}@\text{TiO}_2@\text{SiO}_2$  的强吸收峰除了在波长 200~400 nm 的紫外区以外, 在 455 nm 的可见光区也还出现。由此可见,  $\text{Ag}@\text{TiO}_2@\text{SiO}_2$  对光的响应范围比  $\text{TiO}_2@\text{SiO}_2$  对光的响应范围要宽, 扩大到可见光区。 $\text{Ag}@\text{TiO}_2@\text{SiO}_2$  对光响应范围扩大是由 Ag 的等离子共振效应造成的<sup>[19]</sup>。

### 2.5 核壳型复合材料 $\text{Ag}@\text{TiO}_2@\text{SiO}_2$ 和 $\text{TiO}_2@\text{SiO}_2$ 的催化性能

图5是银修饰的核壳型复合材料  $\text{Ag}@\text{TiO}_2@\text{SiO}_2$  和  $\text{TiO}_2@\text{SiO}_2$  光催化剂在紫外灯的照射下降解罗丹明水溶液的紫外-可见吸收光谱。由于罗丹明的特征吸收带大约在 553 nm, 因此罗丹明水溶液在 553 nm 处的吸收强度能够间接表示溶液中罗丹明的浓度<sup>[20,21]</sup>。由图5可以看出, 在波长 553 nm 处, 罗丹明在核壳型复合材料  $\text{TiO}_2@\text{SiO}_2$  的光催化作用下 60 min, 它的吸收强度从 1.27 降到 0.47, 而在  $\text{Ag}@\text{TiO}_2@\text{SiO}_2$  的光催化下 30 min, 其吸收强度从 1.56 降到 0.04, 说明  $\text{TiO}_2@\text{SiO}_2$  对罗丹明的光催化降解效率低, 较长时间内罗丹明未完全降解, 而  $\text{Ag}@\text{TiO}_2@\text{SiO}_2$  对罗丹明的光催化降

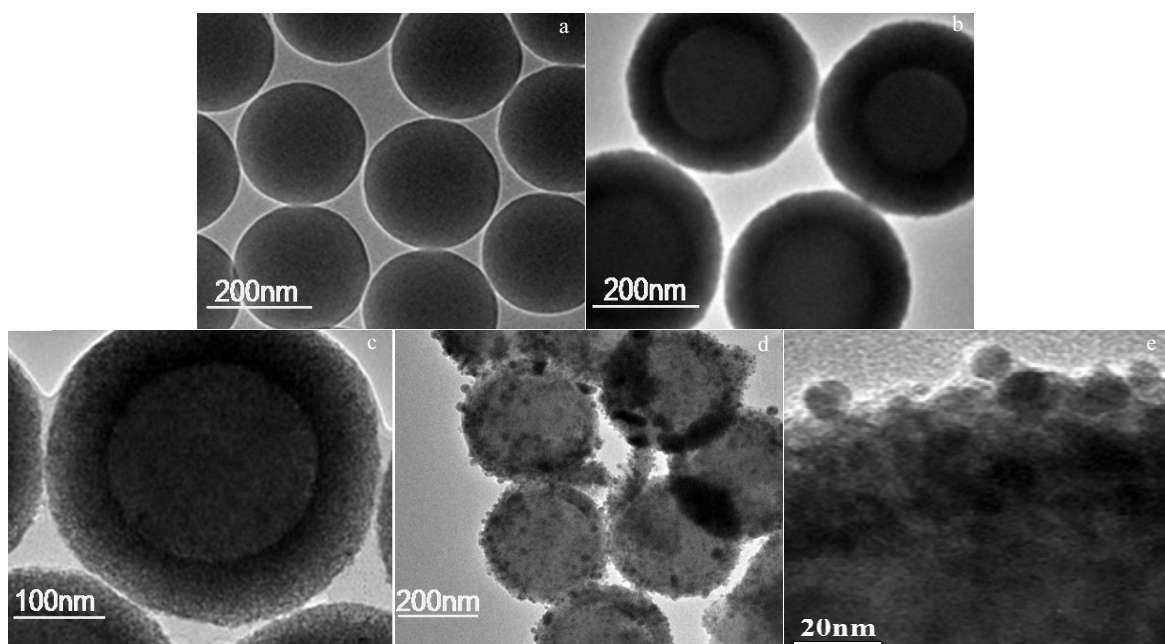
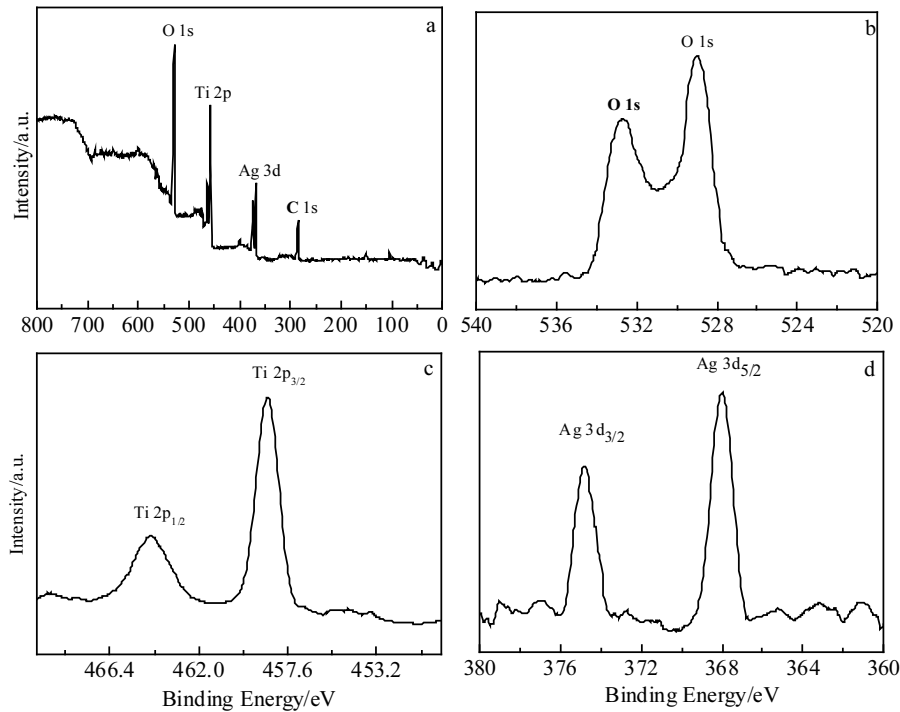
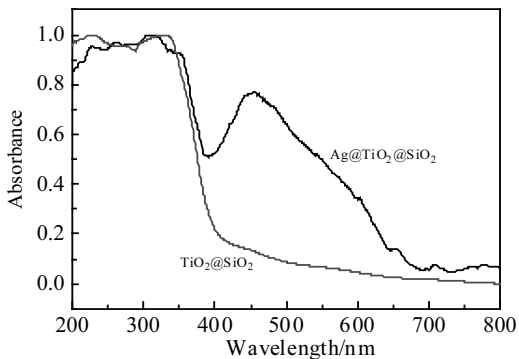


图 2  $\text{SiO}_2$ 、 $\text{TiO}_2@\text{SiO}_2$ 、焙烧  $\text{TiO}_2@\text{SiO}_2$  和  $\text{Ag}@\text{TiO}_2@\text{SiO}_2$  的 TEM 照片

Fig.2 TEM images of  $\text{SiO}_2$  (a),  $\text{TiO}_2@\text{SiO}_2$  (b), sintered  $\text{TiO}_2@\text{SiO}_2$  (c) and  $\text{Ag}@\text{TiO}_2@\text{SiO}_2$  (d, e)

图 3  $\text{Ag}@\text{TiO}_2@\text{SiO}_2$  的 XPS 总谱和各元素的高分辨 XPS 能谱Fig.3 XPS survey spectra of  $\text{Ag}@\text{TiO}_2@\text{SiO}_2$  (a) and high-resolution XPS spectra of O 1s (b), Ti 2p (c) and Ag 3d (d)图 4  $\text{Ag}@\text{TiO}_2@\text{SiO}_2$  和焙烧  $\text{TiO}_2@\text{SiO}_2$  的紫外-可见漫反射光谱Fig.4 UV-Vis diffuse reflectance spectra of  $\text{Ag}@\text{TiO}_2@\text{SiO}_2$  and sintered  $\text{TiO}_2@\text{SiO}_2$ 

解效率较高，较短时间内罗丹明几乎完全降解。

由上述的分析可以推断出， $\text{Ag}@\text{TiO}_2@\text{SiO}_2$  的光催化性能比  $\text{TiO}_2@\text{SiO}_2$  的高，同时也表明将纳米 Ag 负载在  $\text{TiO}_2@\text{SiO}_2$  的  $\text{TiO}_2$  的外表面可以有效提高  $\text{TiO}_2@\text{SiO}_2$  的光催化性能。这是因为当  $\text{TiO}_2$  激发态时，积累在纳米 Ag 表面的  $e^-$  向溶解在水中和吸附在  $\text{TiO}_2$  表面的  $\text{O}_2^-$  传递，形成氧化性很强的自由基  $\text{O}_2^-$ ，加速有机物的降解；其次，Ag 既能接受光生  $e^-$  又能接受光生  $\text{h}^+$ ，可以作为光生电子的接收器，促进复合界面的载流子传输，降低  $e^-$  与  $\text{h}^+$  结合率，有利自由基  $\text{O}_2^-$  的生成<sup>[22]</sup>。

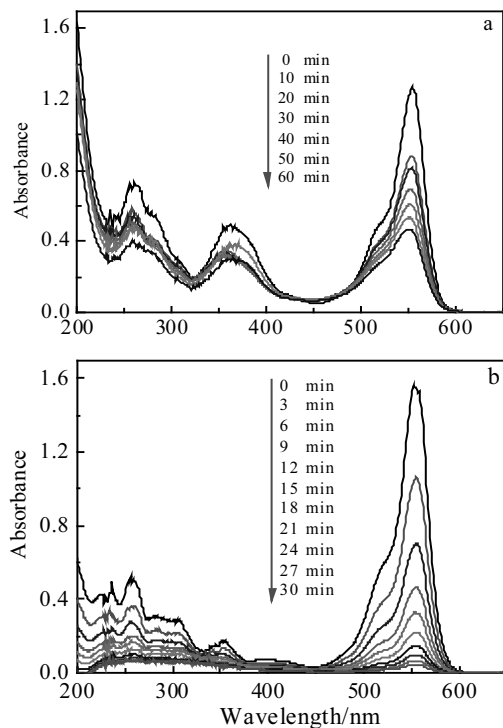


图 5 罗丹明光催化讲解过程吸光度的变化

Fig.5 Absorbance change during the photocatalytic degradation of phenol using  $\text{TiO}_2@\text{SiO}_2$  (a) and  $\text{Ag}@\text{TiO}_2@\text{SiO}_2$  (b)

### 3 结 论

1)以含银铅锌废渣为银源可以制备出银的复合材料  $\text{Ag}@\text{TiO}_2@\text{SiO}_2$ 。制备的  $\text{Ag}@\text{TiO}_2@\text{SiO}_2$  是具有核壳结构的纳米材料, 核心是 250 nm 的  $\text{SiO}_2$  亚微球, 壳层是 60 nm 厚的锐钛矿型  $\text{TiO}_2$ , 10 nm 的 Ag 单质团簇形式均匀沉积在  $\text{TiO}_2$  表面。

2) 负载在锐钛矿型  $\text{TiO}_2$  壳层上的 Ag 纳米团簇能捕获光生电子, 提高光生载流子的分离效率, 把  $\text{TiO}_2$  对光响应范围扩大到可见光区。制备的核壳型纳米复合材料  $\text{Ag}@\text{TiO}_2@\text{SiO}_2$  比  $\text{TiO}_2@\text{SiO}_2$  具有更好的光催化性能。

### 参考文献 References

- [1] Hou Xiaobo(侯晓波). *Yunnan Metallurgy*(云南冶金)[J], 2011, 40(3): 42
- [2] Wang Ruixiang(王瑞祥), Tang Motang(唐谋堂), Tang Chaobo(唐朝波) et al. *Gold(黄金)*[J], 2008, 29(9): 32
- [3] Shao Juenian(邵厥年), Tao Weiping(陶维屏). *Industrial Requirements Handbook of Mineral Resources*(矿产资源工业要求手册)[M]. Beijing: Geological Publishing House, 2010: 213
- [4] Parida K M, Sahu N. *Journal of Molecular Catalysis A: Chemical*[J], 2008, 287 (1-2): 151
- [5] Zhao D, Yang C F. *Renewable and Sustainable Energy Reviews*[J], 2016, 54 : 1048
- [6] Mukhopadhyay S, Mondal I, Pal U et al. *Phys Chem Chem Phys*[J], 2015, 17(31): 20407
- [7] Xu M W, Bao S J, Zhang X G. *Materials Letters*[J], 2005, 59 (17): 2194
- [8] Gao L, Ng K, Sun D D. *Journal of Hazardous Materials*[J], 2013, 262: 826
- [9] Chen H W, Ku Y, Kuo Y L. *Water Research*[J], 2007, 41(10): 2069
- [10] Pandikumar A, Ramaraj R. *Materials Chemistry and Physics*[J], 2013, 141(2-3): 629
- [11] Pandikumar A, Ramaraj R. *Journal of Hazardous Materials*[J], 2012, S203-204(4): 244
- [12] Sun Ziming(孙梓明). *Yunnan Chemical Technology(云南化工)*[J], 1991(1-2): 80
- [13] Hu Qiaosheng(胡乔生). *Environmental Protection of Chemical Industry*(化工环保)[J], 2001, 21(4): 196
- [14] Moritz M, Geszke-Moritz M. *Chemical Engineering Journal*[J], 2013, 228(14): 596
- [15] Su J W, Zhang Y X, Xu S C et al. *Nanoscale*[J], 2014, 6(10): 5181
- [16] Guo Shaobo(郭少波), Ma Jianqi(马剑琪), Chen Wenqiang(陈文强) et al. *Journal of Synthetic Crystals(人工晶体学报)*, 2015, 44(7): 1946
- [17] Ma J Q, Guo S B, Guo X H et al. *Applied Surface Science*[J], 2015, 353: 1117
- [18] Chi Y, Yuan Q, Li Y et al. *Journal of Hazardous Materials*[J], 2013, 262(22): 404
- [19] Deng Z W, Chen M, Wu L M. *J Phys Chem C*[J], 2007, 111(31): 11692
- [20] Pu Yuying(蒲玉英), Fang Jianzhang(方建章), Peng Feng(彭峰) et al. *Chinese Journal of Catalysis(催化学报)*[J], 2007, 28(3): 251
- [21] Zhao Wei, Feng Lili, Yang Rong et al. *Applied Catalysis B: Environmental*[J], 2011, 103(1-2): 181
- [22] Liu Shouxin(刘守新), Qu Zhenping(曲振平), Han Xiwen(韩秀文) et al. *Chinese Journal Catalysis(催化学报)*[J], 2004, 25 (2): 133

## Silver Modified Composite Nanomaterials from Metallurgical Lead and Zinc Slag

Shi Zhenwu<sup>1,2</sup>, Yang Haidong<sup>3</sup>, Song Juan<sup>2</sup>, Yang Shoujie<sup>2</sup>, Xue Qunhu<sup>1</sup>  
 (1. Xi'an University of Architecture and Technology, Xi'an 710055, China)  
 (2. Shaanxi University of Technology, Hanzhong 723000, China)  
 (3. Shaanxi Nonferrous Metals Holding Group Co., Ltd, Xi'an 710075, China)

**Abstract:** Metallurgical lead and zinc slag was taken as the resource of silver, and silver modified nanomaterials  $\text{Ag}@\text{SiO}_2@\text{TiO}_2$  were synthesized by chlorine salt method, Stöber method, sol-gel method and photo-deposited method. XRD and TEM analyses show that composite  $\text{Ag}@\text{SiO}_2@\text{TiO}_2$  has core-shell structure, and Ag is deposited on anatase  $\text{TiO}_2$  shell in the form of cluster with 10 nm in diameter. XPS indicates that in silver modified  $\text{Ag}@\text{SiO}_2@\text{TiO}_2$ ,  $\text{TiO}_2$  is chemisorbed on  $\text{SiO}_2$  with Ti-O-Si chemical bond, while Ag deposited on  $\text{TiO}_2$  shell is elementary substance of silver. UV-vis diffuse reflectance spectra (DRS) show that Ag clusters of silver modified  $\text{Ag}@\text{SiO}_2@\text{TiO}_2$  widen the  $\text{TiO}_2$  response range to the visible light region. The photocatalytic degradation reaction of Rhodamine indicates that silver modified nanocomposite  $\text{Ag}@\text{SiO}_2@\text{TiO}_2$  has excellent catalytic performance.

**Key words:** silver modified composite; metallurgical lead and zinc slag; photocatalytic performance